

Caminhando em vértices e arestas com o passeio quântico a tempo contínuo <WECIQ|2022>

Cauê F. Teixeira da Silva
Daniel Posner
Renato Portugal

Laboratório Nacional de Computação Científica

11 de agosto de 2022



- 1 Introdução
- 2 Grafo total
 - O grafo total de um grafo regular
- 3 Passeio quântico a tempo contínuo em vértices e arestas
 - Método para análise de busca quântica
 - Busca quântica através do passeio quântico total no $K_{n,n}$
- 4 Conclusão



- 1 Introdução
- 2 Grafo total
 - O grafo total de um grafo regular
- 3 Passeio quântico a tempo contínuo em vértices e arestas
 - Método para análise de busca quântica
 - Busca quântica através do passeio quântico total no $K_{n,n}$
- 4 Conclusão



Passeios quânticos são a versão quântica de passeios aleatórios.¹ Eles servem como base de vários algoritmos quânticos.² Os passeios quânticos podem ser a tempo discreto³ ou contínuo⁴, já a estrutura espacial é sempre discreta. Uma propriedade importante é a localidade, que garante que a partícula só pode locomover-se para uma posição vizinha a atual em uma única etapa.

¹Y. Aharonov, and L. Davidovich, and N. Zagury. *Quantum random walks*, *Phys. Rev. A*, 1687:1690, 1993. DOI:10.1103/PhysRevA.48.1687.

²R. Portugal *Quantum Walks and Search Algorithms*, Springer, 2018.

³D. Aharonov and A. Ambainis and J. Kempe and U. Vazirani *Quantum walks on graphs Proc. 33th STOC*, 50:59, New York, 2001.

⁴E. Farhi, and S. Gutmann. *Quantum computation and decision trees*, *Phys. Rev. A* 58:915-928, 1998. DOI:10.1103/PhysRevA.58.915.



Existem diversos tipos de estrutura espacial na literatura: (1) o conjunto de vértices no passeio quântico a tempo contínuo⁵ e no passeio quântico escalonado⁶; (2) o conjunto de arcos no passeio quântico com moeda⁷; (3) o conjunto de arestas no modelo de Szegedy⁸; (4) arestas conectando vértices e faces no passeio quântico em imersões⁹; entre outros exemplos.

⁵E. Farhi, and S. Gutmann. *Quantum computation and decision trees*, *Phys. Rev. A*, 915:928, 1998. DOI:10.1103/PhysRevA.58.915.

⁶R. Portugal, and R. A. M. Santos, and T. D. Fernandes, and D. N. Gonçalves,, *The staggered quantum walk model*, *Quantum Information Processing*, 85:101, 2016, DOI:10.1007/s11128-015-1149-z

⁷Y. Higuchi and N. Konno and I. Sato and E. Segawa , *Spectral and asymptotic properties of Grover walks on crystal lattices*, *J. Funct. Anal.*, 4197:4235, 2014.

⁸M. Szegedy *Quantum speed-up of Markov chain based algorithms*, *45th Annual IEEE Symposium on Foundations of Computer Science*, 32:41, 2004, DOI:10.1109/FOCS.2004.53


⁹H. Zhan,. *Quantum walks on embeddings*, *Journal of Algebraic Combinatorics*, 1187:1213, 2021. DOI:10.1007/s10801-020-00958-z.



Um algoritmo de busca espacial através de passeios quânticos a tempo contínuo foram introduzidos por Childs e Goldstone¹⁰. A evolução no tempo é guiada por um hamiltoniano que é obtido a partir da matriz de adjacência perturbada por um termo que depende da localização do vértice marcado. Implementações experimentais de algoritmos de busca através de passeio quântico a tempo contínuo são descritas por diversos artigos^{11,12}.

¹⁰A. M. Childs, and J. Goldstone. *Spatial search by quantum walk*, *Phys. Rev. A* 2004. DOI:10.1103/PhysRevA.70.022314.

¹¹M. Delvecchio and C. Groiseau and F. Petiziol and G. S. Summy and S. Wimberger, *Quantum search with a continuous-time quantum walk in momentum space*, *Journal of Physics B: Atomic, Molecular and Optical Physics*, 2020. DOI:10.1088/1361-6455/ab63ad.

¹²D. Qu, and S. Marsh, and K. Wang, and L. Xiao, and J. Wang, and P. Xue, Peng. *Deterministic Search on Star Graphs via Quantum Walks*, *Phys. Rev. Lett.*, 2022. DOI: 10.1103/PhysRevLett.128.050501. 

Neste trabalho, definimos consistentemente um modelo de passeio quântico a tempo contínuo que permite a partícula andar de um vértice para uma aresta e vice-versa. Chamaremos esse novo modelo de passeio quântico total. Como uma aplicação, analisamos o algoritmo de busca espacial no grafo bipartido completo através do passeio quântico total. Neste modelo, estamos interessados não apenas em determinar a complexidade computacional de achar um vértice marcado, mas também de uma aresta marcada. Mostramos que o tempo ótimo para encontrar ambos no grafo bipartido completo é $O(\sqrt{N_e})$ com probabilidade de sucesso $1 + o(1)$, onde N_e é o número de arestas de G .



1 Introdução

2 Grafo total

- O grafo total de um grafo regular

3 Passeio quântico a tempo contínuo em vértices e arestas

- Método para análise de busca quântica
- Busca quântica através do passeio quântico total no $K_{n,n}$

4 Conclusão



Definição 2.1

O **grafo linha** $L(G)$ é o grafo gerado a partir de um grafo G de tal forma que $V(L(G)) = E(G)$ e dois vértices de $L(G)$ são adjacentes se as respectivas arestas de G são adjacentes.

Definição 2.2

O **grafo total** $T(G)$ é o grafo gerado a partir de um grafo G de tal forma que $V(T(G)) = V(G) \cup E(G)$ e dois vértices de $T(G)$ são adjacentes se eles são adjacentes em G (no caso de termos dois vértices de G ou duas arestas de G) ou são incidentes em G (no caso de termos um vértice e uma aresta de G).



Definição 2.3

A **matriz de adjacência** A_G de um grafo G é definida por

$$(A_G)_{ij} = \begin{cases} 1, & \text{se } v_i v_j \in E(G), \\ 0, & \text{caso contrário.} \end{cases}$$

A **matriz de incidência** R_G de um grafo G é definida por

$$(R_G)_{ij} = \begin{cases} 1, & \text{se } v_i \in e_j, \\ 0, & \text{caso contrário.} \end{cases}$$



A matriz de adjacência do grafo total $T(G)$ é dada pela seguinte matriz de blocos

$$H := A_{T(G)} = \begin{bmatrix} A & R \\ R^T & B \end{bmatrix}, \quad (1)$$

onde $A = A_G$, $R = R_G$ e $B = A_{L(G)}$.

São válidas as seguintes relações

$$RR^T = A_G + rI, \quad (2)$$

$$R^T R = A_{L(G)} + 2I. \quad (3)$$



O grafo total de um grafo regular

A seguinte proposição foi provada por Cvetković¹³.

Proposição 2.1 (Cvetković)

Sejam G um grafo regular com m arestas e n vértices de grau r e λ_i os autovalores de G , para $i \in \{1, \dots, n\}$. Os autovalores de $T(G)$ são -2 com multiplicidade $m - n$ e $2n$ autovalores dados por

$$\theta_i^\pm = \frac{1}{2}(2\lambda_i + r - 2 \pm \sqrt{4\lambda_i + r^2 + 4}), i \in \{1, \dots, n\}. \quad (4)$$

¹³D. M. Cvetković, *Spectrum Of The Total Graph Of A Graph*, Publications de l'Institut Mathématique, 49:52, 1973.



Proposição 2.2

Sejam G um grafo conexo bipartido r -regular com n vértices, m arestas e $r \geq 2$, sendo $V(G) = V_1 \cup V_2$ suas partições. Suponhamos que os autovalores de G são dados por $r = \lambda_1 \geq \dots \geq \lambda_n$ e seus autovetores ortonormais são $\mathbf{v}_1, \dots, \mathbf{v}_n$. Definimos θ_i^\pm como na proposição anterior e

$$\mathbf{x}_i^\pm = \frac{1}{\sqrt{c}} \begin{pmatrix} (2 - r - \lambda_i + \theta_i^\pm) \mathbf{v}_i \\ R_G^T \mathbf{v}_i \end{pmatrix}, \text{ para } i \in \{1, \dots, n\} \quad (5)$$

onde $c = (2 - r - \lambda_i + \theta_i^\pm)^2 + \lambda_i + r$. Temos que os autovalores de $T(G)$ são dados por θ_i^\pm , com $i \in \{2, \dots, n\}$, $-r$ e -2 com multiplicidade $m - n + 1$ com os respectivos autovetores dados por

$$\mathbf{x}_i^\pm, \mathbf{z} = \begin{pmatrix} \mathbf{J}_1 \\ -\mathbf{J}_2 \\ 0 \end{pmatrix} \text{ e } \mathbf{y}_j = \begin{pmatrix} \mathbf{0} \\ \mathbf{y}_j \end{pmatrix}, j \in \{1, \dots, m - n + 1\}$$

onde \mathbf{J}_i é o vetor de dimensão $|V_i|$ com todas entradas iguais a 1 e $\{\mathbf{y}_1, \dots, \mathbf{y}_{m-n}\}$ é uma base ortonormal do núcleo de R_G .

- 1 Introdução
- 2 Grafo total
 - O grafo total de um grafo regular
- 3 Passeio quântico a tempo contínuo em vértices e arestas
 - Método para análise de busca quântica
 - Busca quântica através do passeio quântico total no $K_{n,n}$
- 4 Conclusão



Seja G o grafo com conjunto de vértices $V(G)$ e conjunto de arestas $E(G)$. Associamos a esse grafo um espaço de Hilbert $(|V(G)| + |E(G)|)$ -dimensional gerado por $\{|v\rangle : v \in V(G) \cup E(G)\}$. Da matriz de adjacência do grafo total $T(G)$ obtemos o operador de evolução

$$U(t) = e^{-i\gamma Ht},$$

onde γ é um parâmetro real positivo e $H = A_{T(G)}$.



Seja H definido como

$$H = -\gamma A - |w\rangle\langle w|. \quad (6)$$

O objetivo do método é encontrar valores ótimos de t e γ de tal forma que a probabilidade de sucesso seja maximizada.

Um método para analisar uma busca quântica a tempo contínuo com múltiplos vértices marcados foi desenvolvido.¹⁴¹⁵

¹⁴P. H. G. Lugão, and R. Portugal, and M. Sabri, and H. Tanaka. *Multimarked Spatial Search by Continuous-Time Quantum Walk*, *ArXiv:2203.14384*, 2022.
DOI:10.48550/ARXIV.2203.14384.

¹⁵G. A. Bezerra, and P. H. G. Lugão, and R. Portugal, *Quantum-walk-based search algorithms with multiple marked vertices*, *Phys. Rev. A*, 2021.
DOI:10.1103/PhysRevA.103.062202.



Método para análise de busca quântica

Resumindo, temos que a probabilidade de sucesso

$$t_{\text{run}} = \frac{\pi}{2\epsilon}, \quad (7)$$

onde

$$\epsilon = \pm \frac{S_1 \|P_0|w\rangle\|}{\sqrt{S_2}}. \quad (8)$$

A probabilidade de sucesso é

$$p_{\text{succ}} = 4 |\langle \lambda^+ | \psi(0) \rangle|^2 |\langle w | \lambda^+ \rangle|^2 + o(1), \quad (9)$$

onde

$$\langle w | \lambda^\pm \rangle = \frac{S_1}{\sqrt{S_2}}, \quad (10)$$

$$\langle \psi(0) | \lambda^\pm \rangle = \mp \frac{1}{\sqrt{N} \|P_0|w\rangle\|}, \quad (11)$$



Busca quântica através do passeio quântico total no $K_{n,n}$

Um vetor unitário associado ao autovalor n é dado por

$$|v_n\rangle = \frac{1}{\sqrt{2n}} \left(\sum_{i=1}^n |i\rangle + |i'\rangle \right). \quad (12)$$

Uma base ortonormal do 0-autoespaço é $\{|v_k\rangle, |v_{k'}\rangle\}$ para $k \in \{1, \dots, n-1\}$, onde

$$|v_k\rangle = \sqrt{\frac{k}{k+1}} \left(|k+1\rangle - \sum_{i=1}^k \frac{1}{k} |i\rangle \right) \quad (13)$$

e

$$|v_{k'}\rangle = \sqrt{\frac{k}{k+1}} \left(|(k+1)'\rangle - \sum_{i=1}^k \frac{1}{k} |i'\rangle \right). \quad (14)$$

Um autovetor unitário associado com o autovalor $(-n)$ é dado por

$$|v_0\rangle = \frac{1}{\sqrt{2n}} \left(\sum_{i=1}^n |i\rangle - |i'\rangle \right). \quad (15)$$



Uma base ortonormal para o kernel da matriz de incidência $R_{K_{n,n}}$ é

$$|w_{i,j}\rangle = \sqrt{h_{i,j}} \sum_{k_2=1}^{j+1} \sum_{k_1=1}^{i+1} \frac{(-i)^{\delta_{k_1,i+1}} (-j)^{\delta_{k_2,j+1}}}{ij} |e_{k_1,k_2}\rangle, \quad (16)$$

onde $h_{i,j} = \frac{ij}{ij + i + j + 1}$ e $i, j \in \{1, \dots, (n-1)\}$.



Usando esses autovetores de $K_{n,n}$, Proposição 2.2, e definindo

$$\theta_0^\pm := \frac{n - 2 \pm \sqrt{n^2 + 4}}{2} \quad (17)$$

e

$$\Delta_n^\pm := \frac{n^2 + 4 \pm (2 - n)\sqrt{n^2 + 4}}{2}, \quad (18)$$

temos que os autovalores de $T(K_{n,n})$ em ordem decrescente são $\phi_0 = 2n$, $\phi_1 = \theta_0^+$, $\phi_2 = n - 4$, $\phi_3 = \theta_0^-$, $\phi_4 = -2$ e $\phi_5 = -n$ com multiplicidades $1, 2(n - 1), 1, 2(n - 1), (n - 1)^2$ e 1 , respectivamente.



Busca quântica através do passeio quântico total no $K_{n,n}$

Um autovetor unitário de autovalor $2n$ é

$$|X_n^+\rangle = \frac{1}{\sqrt{4+2n}} \left(2|v_n\rangle + R_{K_{n,n}}^T |v_n\rangle \right). \quad (19)$$

Um autovetor unitário de autovalor $(n-4)$ é

$$|X_n^-\rangle = \frac{1}{\sqrt{n^2+6n+4}} \left((-2-n)|v_n\rangle + R_{K_{n,n}}^T |v_n\rangle \right). \quad (20)$$

Uma base ortonormal para o θ_0^\pm -autoespaço é dado por $\{|X_{0,k}^\pm\rangle, |X_{0,k'}^\pm\rangle : k = 1, \dots, n-1\}$, onde

$$|X_{0,k}^\pm\rangle = \frac{1}{\sqrt{\Delta_n^\pm}} \left(\theta_n^\mp |v_k\rangle + R_{K_{n,n}}^T |v_k\rangle \right). \quad (21)$$

Um autovetor unitário de autovalor $(-n)$ é

$$|Z\rangle = |v_0\rangle. \quad (22)$$

Uma base ortonormal para (-2) -autoespaço é

$$\{|Y_{i,j}\rangle = |w_{i,j}\rangle : i, j = 1, \dots, n-1\}. \quad (23)$$

Busca quântica através do passeio quântico total no $K_{n,n}$

Substituindo os autovetores de $T(K_{n,n})$ nas definições de S_1 e S_2 com $q = 5$, obtemos

$$S_1^v = \frac{1}{2n} + \frac{5}{12n^2} + O\left(\frac{1}{n^3}\right), \quad (24)$$

$$S_1^e = \frac{1}{2n} + \frac{1}{2n^2} + O\left(\frac{1}{n^3}\right), \quad (25)$$

e

$$S_2^v = S_2^e = \frac{1}{4n^2} + O\left(\frac{1}{n^3}\right). \quad (26)$$

Usando a definição de ϵ , obtemos

$$\epsilon^v = \left(1 - \frac{7}{9n} + O\left(\frac{1}{n^2}\right)\right) \frac{1}{\sqrt{N}} \quad (27)$$

e

$$\epsilon^e = \left(1 - \frac{1}{n} + O\left(\frac{1}{n^2}\right)\right) \frac{1}{\sqrt{N}}. \quad (28)$$



Usando a expressão de t_{run} , o tempo ótimo nos dois casos é

$$t_{run} = \frac{\pi\sqrt{N}}{2} \quad (29)$$

e usando a expressão de p_{succ} , a probabilidade de sucesso de achar um vértice marcado é

$$p_{succ}^v = 1 - \frac{14}{9n} + O\left(\frac{1}{n^2}\right) \quad (30)$$

e de achar uma aresta marcada é

$$p_{succ}^e = 1 - \frac{2}{n} + O\left(\frac{1}{n^2}\right). \quad (31)$$



- 1 Introdução
- 2 Grafo total
 - O grafo total de um grafo regular
- 3 Passeio quântico a tempo contínuo em vértices e arestas
 - Método para análise de busca quântica
 - Busca quântica através do passeio quântico total no $K_{n,n}$
- 4 Conclusão



- Nós definimos uma versão de passeio quântico a tempo contínuo em um grafo G que permite ao caminhante pular de vértice para aresta e vice versa.
- No nosso modelo, o caminhante pula de (1) vértice para vértice, (2) vértice para aresta, (3) aresta para vértice e (4) aresta para aresta.
- Usando este modelo de passeio quântico, mostramos que o algoritmo de busca quântica no grafo bipartido completo pode encontrar um elemento marcado em $O(\sqrt{N})$ passos com probabilidade de sucesso $o(1)$.

